

## СТРУКТУРА СМЕШАННОГО СОСТОЯНИЯ, ИНДУЦИРОВАННОГО ПОЛЕМ МАЛОЙ ФЕРРОМАГНИТНОЙ ЧАСТИЦЫ, В ТОНКИХ СВЕРХПРОВОДЯЩИХ ПЛЕНКАХ YBaCuO

*А. Ю. Аладышкин\*, А. К. Воробьев, П. П. Вышеславцев, Е. Б. Клюенков,  
А. С. Мельников, Ю. Н. Ноздрин, И. Д. Токман*

*Институт физики микроструктур Российской академии наук  
603600, Нижний Новгород, Россия*

Поступила в редакцию 2 марта 1999 г.

Экспериментально определена температурная зависимость величины локального энергетического барьера для образования смешанного состояния в тонкопленочных сверхпроводящих образцах YBaCuO. Методика измерений основана на использовании в качестве источника магнитного поля малой ферромагнитной частицы. Обнаружено, что энергетический барьер для создания вихрей (при ориентации поля параллельно плоскостям CuO) аномально мал, а зависимость соответствующего порогового тока  $j_c(T)$  существенно отличается от температурной зависимости тока распаривания. Экспериментальные факты интерпретированы в рамках модели джозефсоновской среды. Наблюдаемая температурная зависимость  $j_c$  указывает на сильное подавление сверхпроводящего параметра порядка на межгранульных границах, что для наиболее вероятных границ раздела типа сверхпроводник—изолятор—сверхпроводник свидетельствует в пользу анизотропного типа спаривания.

PACS: 74.50.+g; 74.76.Bz; 74.60.Ge

### 1. ВВЕДЕНИЕ

В последнее время уделяется большое внимание экспериментальным и теоретическим исследованиям смешанного состояния в тонких пленках высокотемпературных сверхпроводников (ВТСП) (см., например, обзор [1] и приведенные в нем ссылки). Интерпретация результатов измерений магнитных свойств может быть проведена на основе хорошо известной модели Бина. Такие расчеты оказываются достаточно сложными для образцов произвольной формы и могут быть сравнительно легко выполнены лишь для некоторых частных случаев (например, для образцов цилиндрической и эллипсоидальной формы). Таким образом, анализ экспериментальных данных по намагничиванию тонких пленок, особенно в поле перпендикулярном поверхности, представляет весьма сложную задачу. Большой размагничивающий фактор таких образцов приводит к высокой плотности экранирующего тока на краях пленки, в результате чего трудноконтролируемая структура краев образца в значительной мере определяет экспериментально измеряемые магнитные характеристики.

\*E-mail: alay@ipm.sci-nnov.ru

В данной работе мы предлагаем оригинальную методику (предварительные результаты приведены в [2]) прямого измерения локальных характеристик смешанного состояния (энергетического барьера Бина—Ливингстона для вхождения силовых линий  $\mathbf{B}$  с поверхности, критического тока подавления барьера  $j_c$ , тока пиннинга  $j_p$ ), позволяющую пренебречь влиянием краевых эффектов, которые существенны при измерениях в однородных полях. Данный метод основан на экспериментальном анализе (при помощи датчика Холла) пространственного распределения остаточной намагниченности, создаваемой закрепленными на центрах пиннинга вихрями, проникающими в пленку под действием поля малой ферромагнитной частицы (микромагнита). Использование в качестве источника поля такого микромагнита, находящегося на малом расстоянии  $a$  от поверхности пленки ( $a \ll L$ ,  $L$  — размер пленки), позволяет пренебречь краевыми эффектами, так как токи на краях пленки в этом случае пренебрежимо малы. Заметим, что системы такого типа (магнитный диполь над поверхностью сверхпроводника) активно исследуются в настоящее время, в частности, в приложении к проблемам магнитосиловой микроскопии, левитации и т. п. [3–5]. Как правило, в таких задачах предполагается, что магнитный момент диполя достаточно мал и слабо возмущает структуру смешанного состояния. В данной работе мы остановимся на экспериментальном и теоретическом исследовании качественно иной ситуации, когда смешанное состояние само создается полем магнитного диполя (микромагнита). Сценарий возникновения такого вихревого состояния существенно зависит от того, как происходит переход пленки в сверхпроводящее состояние: в присутствии или в отсутствие поля микромагнита. Замораживание вихрей в поле микромагнита исследовалось экспериментально в [6]. Именно такой случай соответствует теоретическому анализу [5, 7–9], основанному на сравнении свободной энергии сверхпроводника без вихрей и с одиночным вихрем. Как будет показано в нашей работе, исследование процесса формирования вихревого состояния (в поле диполя) в образцах, охлажденных до  $T < T_c$  в отсутствие поля, также представляет большой интерес, поскольку позволяет получить важную информацию о локальных характеристиках образца. При этом мы предполагаем следующий сценарий возникновения смешанного состояния в наших экспериментах. По мере уменьшения расстояния  $a$  между пленкой и микромагнитом локальный мейсснеровский ток на поверхности пленки превышает критическую величину, что приводит к генерации вблизи поверхности вихревых полупетель. Такие полупетли, увеличивая свой радиус, достигают противоположной поверхности пленки, где расщепляются на пару вихрь—антивихрь. Образовавшиеся вихри закрепляются на центрах пиннинга и создают остаточное поле. В рамках данного сценария оказывается возможным, в частности, определить величину локального энергетического барьера для вхождения вихревых линий в тонкую сверхпроводящую пленку через ее поверхность. Эта задача сводится к измерению порогового расстояния  $a_{cr}$ , начиная с которого происходит разрушение мейсснеровского состояния. Заметим, что проблема определения величины локального поверхностного энергетического барьера представляет интерес в связи с результатами [10], свидетельствующими о существенной зависимости барьера от ориентации поверхности относительно кристаллических осей, которая не может быть объяснена в рамках анизотропной теории Гинзбурга—Ландау [11, 12].

С помощью описанного выше метода в настоящей работе была получена температурная зависимость плотности тока подавления поверхностного энергетического барьера  $j_c$  в тонких пленках  $\text{YBaCuO}$  в диапазоне температур 77–90 К. Измеренное значение  $j_c$  оказалось крайне малым по сравнению с теоретическим значением тока распари-

вания для однородных монокристаллических сверхпроводников  $j_{GL}$  ( $j_c/j_{GL} \sim 10^{-2}$ ), что хорошо согласуется с результатами анализа гистерезисных зависимостей  $M(H)$  [10]. Наши эксперименты показали, что температурная зависимость  $j_c \propto \tau^2$  существенно отличается от  $j_{GL} \propto \tau^{1.5}$ , где  $\tau = (T_c - T)/T_c$ . На наш взгляд, наблюдаемые эффекты свидетельствуют о существовании в образце джозефсоновски-связанных гранул, а температурная зависимость указывает на сильное подавление модуля параметра порядка на границах гранул. Заметим, что предположение о существовании гранул подтверждается результатами туннельной сканирующей микроскопии. С целью интерпретации полученных экспериментальных данных нами был проведен теоретический анализ пространственного распределения вихрей в тонкой пленке в рамках модели Бина, учитывающей особенности магнитостатики тонких сверхпроводящих пленок в смешанном состоянии.

Статья построена следующим образом. В разд. 2 приведены характеристики образцов, описана схема экспериментальной установки. В части 3.1 приведены результаты измерения тока пиннинга  $j_p$  в однородном магнитном поле. В части 3.2 приведены методика и результаты измерения критического расстояния  $a_{cr}$  от микромагнита до поверхности пленки. В разд. 4 проанализированы температурные зависимости критического расстояния  $a_{cr}$  с целью получения информации о температурной зависимости тока  $j_c$ . В разд. 5 рассмотрена теоретическая модель, описывающая образующееся вихревое состояние, и проведено сравнение рассчитанных характеристик вихревой структуры с экспериментальными результатами.

## 2. ХАРАКТЕРИСТИКИ ОБРАЗЦОВ И ЭКСПЕРИМЕНТАЛЬНОЙ УСТАНОВКИ

Эксперименты по измерению величины энергетического барьера при фиксированной температуре  $T = 77$  К проводились на большом числе пленок YBaCuO, различающихся по толщине (от 850 Å до 3000 Å), по технологии изготовления (магнетронный и лазерный методы), по типу подложки (сапфир с подслоем YSZ, NdGaO<sub>3</sub>). Результаты всех экспериментов убедительно доказывают существование низкого энергетического барьера для вхождения вихревых линий с поверхности сверхпроводника.

Для проведения температурных измерений характеристик смешанного состояния нами были использованы четыре *c*-ориентированные YBaCuO-пленки ( $M1$ ,  $M2$ ,  $M3$ ,  $M4$ ) размером  $20 \times 20$  мм<sup>2</sup> и толщиной 850 Å, которые выращивались в низкотемпературном одностадийном процессе *in situ* методом обратного магнетронного распыления. Кольцевая мишень, изготовленная из предварительно синтезированного и спрессованного порошка фазы YBa<sub>2</sub>Cu<sub>3</sub>O<sub>x</sub>, распылялась в смеси аргона и кислорода при оптимальном соотношении Ar : O = 1 : 1 и оптимальном давлении 50 Па. Температура измерялась и поддерживалась с точностью  $\pm 4^\circ\text{C}$  в диапазоне 600–750°C. Подложкой являлся NdGaO<sub>3</sub> с ориентацией (100). Пленки отличались условиями изготовления. Температура поверхности конденсации для  $M3$  и  $M4$  была одинаковой и составляла  $\approx 700^\circ\text{C}$ , а для  $M1$  и  $M2$  была выше соответственно на 20°C и 40°C. Скорость осаждения для  $M1$ ,  $M2$ ,  $M3$  составляла 4.7 Å/мин и размер гранул составлял 5000 Å, для  $M4$  скорость была вдвое ниже и размер гранул в 1.4 раза больше. Полуширина кривой качания на половине высоты при  $\omega$ -сканировании рефлекса (005) YBaCuO составляла 1°. Пленки имели следующие параметры:  $T_c \approx 84$ –86 К, ширина резистивного перехода  $\approx 1$ –2 К, низкое СВЧ- (на 10 ГГц) сопротивление  $\sim 10^{-4}$ – $10^{-3}$  Ом при 77 К и

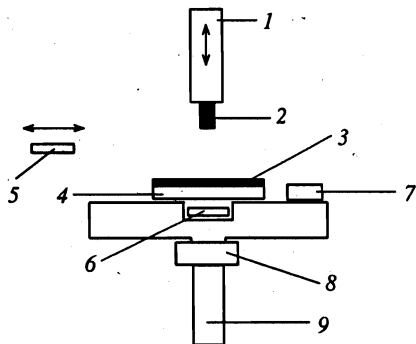


Рис. 1. Схема экспериментальной установки: 1 — штанга, 2 — микромагнит, 3 — пленка YBaCuO; 4 — подложка, 5 — сканирующий датчик Холла P1, 6 — неподвижный датчик Холла P2, 7 — термодатчик, 8 — нагреватель, 9 — хладагент

довольно высокая плотность тока пиннинга  $j_p(77\text{ K}) = 10^5\text{--}10^6\text{ A/cm}^2$ , сопротивление в нормальном состоянии (при 90 K)  $\sim 100\text{ мкОм}\cdot\text{см}$ . Детали технологических процессов и характеристики образцов подробнее описаны в [13–15].

Установка для проведения температурных измерений представляла собой медный столик с массивным основанием, погруженным в жидкий азот (рис. 1). Исследуемая пленка помещалась на столик, под которым на стержне был расположен нагреватель. Температура определялась по изменению сопротивления медной проволоки, играющей роль термодатчика, которая находилась рядом с пленкой на поверхности столика. Заданная температура поддерживалась терморегулятором, который создавал баланс между подводимым и отводимым теплом, управляя током, текущим через нагреватель.

В качестве микромагнита использовалась частица  $\text{SmCo}_5$  размером  $300 \times 300 \times 500\text{ мкм}^3$ , имеющая магнитный момент  $6.7 \cdot 10^{-3}\text{ Гс}\cdot\text{см}^3$ . Характеристики распределений вихрей измерялись двумя одинаковыми датчиками Холла на основе пленок InSb с размером рабочей области  $50 \times 100\text{ мкм}^2$ . Сканирующий датчик P1 располагался над поверхностью пленки на расстоянии 100 мкм и использовался для измерения пространственной зависимости  $B_z(x, y)$  при  $T = 77\text{ K}$ . Неподвижный датчик Холла P2 находился под пленкой точно под микромагнитом и использовался для температурных измерений остаточной намагниченности. Датчики в плоскости  $xy$  имели пространственное разрешение  $R_{H1} \approx 100\text{ мкм}$  и  $R_{H2} \approx 700\text{ мкм}$ .

### 3. ЭКСПЕРИМЕНТАЛЬНЫЕ РЕЗУЛЬТАТЫ

#### 3.1. Пленка в однородном магнитном поле

Для определения плотности тока пиннинга  $j_p$  и его температурной зависимости нами были проведены эксперименты в однородном магнитном поле. Пленка, помещенная в соленоид, охлаждалась в нулевом поле до температур  $77\text{ K} \leq T \leq T_c$ . После увеличения поля до значений  $B \geq 600\text{ Гс}$ , обеспечивающих полное проникновение потока в пленку, и последующего уменьшения поля до нуля сканирующим датчиком Холла P1 снималось пространственное распределение захваченного поля  $B_z(x, y)$  (рис. 2). Результаты измерений  $B_z(x, y)$  находятся в согласии с типичными экспериментальными данными для YBaCuO-пленок [16]. На рис. 2 видно, что область, где запиннингованы вихри, не локализована, что указывает на проникновение вихревых линий именно с краев [1]. Необходимо заметить, что в эксперименте не наблюдаются некоторые особен-

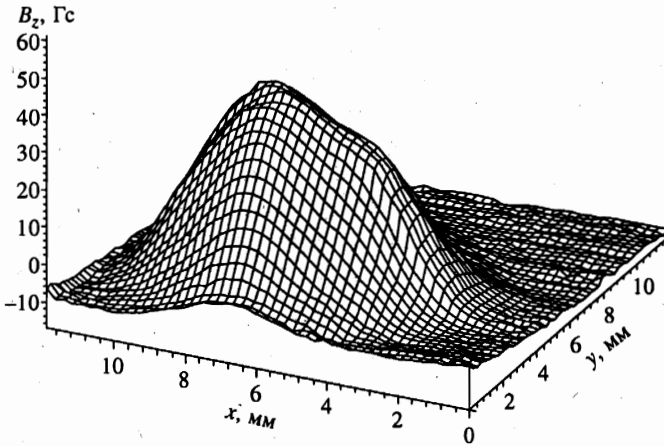


Рис. 2. Пространственное распределение остаточного магнитного поля  $B_z$  в пленке, измеренное сканирующим датчиком P1 после включения и выключения внешнего однородного магнитного поля ( $H = 500$  Гс,  $T = 77$  К)

ности (логарифмический рост поля вблизи центра и смена знака второй производной), предсказываемые теоретическим расчетом в рамках модели критического состояния с однородной плотностью тока пиннинга  $j = j_p = \text{const}$ . По нашему мнению, это может быть связано как с конечным пространственным разрешением  $R$  экспериментальной установки (в нашем случае  $R = R_{H1} \approx 100$  мкм, а в работе [16]  $R = 1.6$  мм), так и с крупномасштабными неоднородностями, которые приводят к зависимости  $j_p(x, y)$ . Тем не менее в рамках модели критического состояния  $j = j_p = \text{const}$  [17] (т. е. без учета неоднородностей) можно провести оценку средней по поверхности пленки плотности тока пиннинга  $j_p$  по формуле

$$j_p = \frac{c \max[B_z]}{2\pi d \ln(L/R_{H2})}, \quad (1)$$

где  $d$  — толщина пленки,  $d = 850$  Å. Полученная температурная зависимость  $j_p(T)$  приведена на рис. 3. Заметим, что эта зависимость близка к линейной при температурах далеких от  $T_c$ .

### 3.2. Пленка в поле микромагнита

Как было указано во Введении, использование микромагнита позволяет пренебречь влиянием краевых эффектов, существенных в однородных полях. Поле микромагнита на расстояниях  $r \gg l$  (где  $l$  — характерный размер микромагнита) убывает с увеличением расстояния пропорционально  $1/r^3$ . Поэтому, несмотря на усиление тока на краю (в силу большого размагничивающего фактора), плотность тока вблизи краев оказывается пренебрежимо малой по сравнению с током распаривания и недостаточной для рождения вихря. Подтверждением того, что вихревые линии не могут проникать в пленку с краев, является вид пространственного распределения  $B_z$  на поверхности тонкой пленки, намагниченной в поле микромагнита (рис. 4): вихри локализованы в ограниченной области в пленке под микромагнитом. Тем самым при экспериментах

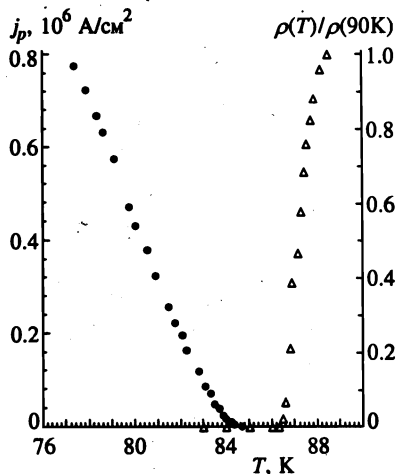


Рис. 3. Типичные температурные зависимости тока пиннинга  $j_p$  (•) и удельного сопротивления  $\rho$  ( $\Delta$ )

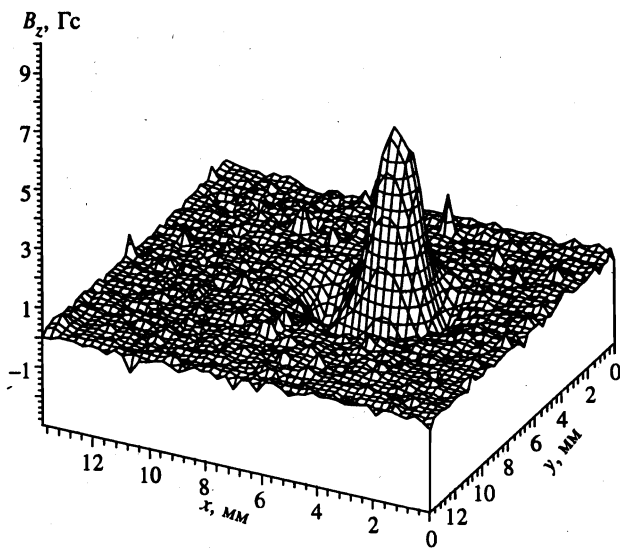


Рис. 4. Пространственное распределение остаточного магнитного поля  $B_z$  в пленке, измеренное сканирующим датчиком P1 после опускания микромагнита до высоты  $a < a_{cr}$  и последующего удаления его от пленки ( $T = 77$  K)

на образцах с конечными размерами наличие края не оказывает влияния, и существует возможность проведения локальных измерений. В данном разделе мы покажем, как методика измерений локальных характеристик смешанного состояния применяется для нахождения температурной зависимости тока подавления поверхностного энергетического барьера  $j_c$ .

Эксперимент проводился в интервале температур  $77\text{ K} < T < T_c$  и в диапазоне расстояний между центром микромагнита и поверхностью  $150\text{ мкм} < a < 4000\text{ мкм}$  для каждого образца. Процедура измерения величины остаточной намагниченности, воз-

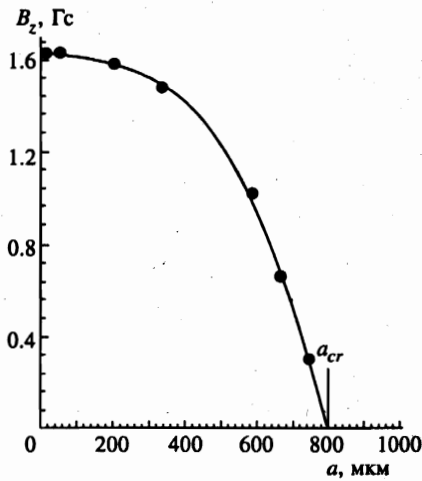


Рис. 5

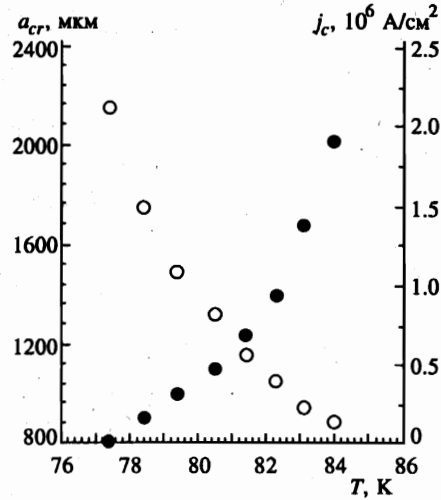


Рис. 6

Рис. 5. Типичная зависимость величины остаточного поля  $B_z$  в центре пленки от расстояния  $a$  при  $T = 77$  К

Рис. 6. Типичные зависимости  $a_{cr}$  (●) и  $j_c$  (○) от температуры  $T$

никающей в пленке в поле микромагнита, состояла в следующем. Пленка с замороженным нулевым потоком охлаждалась до фиксированной температуры, которая поддерживалась с точностью  $\Delta T = 0.01$  К. Микромагнит, первоначально располагавшийся далеко от пленки, опускался до некоторой высоты  $a$ , которая измерялась микрометром, затем поднимался до первоначального уровня. После этого датчиком  $P2$  измерялось собственное магнитное поле пленки. Используя такую методику, мы получили зависимости величины остаточной намагниченности от расстояния  $a$  до микромагнита для каждого образца при различных температурах. Перечислим главные особенности наших результатов:

а) вихревые линии проникают в образец через поверхность пленки, а не с краев;  
 б) результирующее распределение вихрей имеет области с положительной и отрицательной компонентами  $B_z$ ; максимум абсолютной величины  $B_z$  возрастает с уменьшением  $a$ ;

в) обнаружено существование критического расстояния  $a_{cr}$ , которое соответствует началу вхождения вихрей в сверхпроводник (рис. 5); при  $a > a_{cr}$  остаточная намагниченность отсутствует, что соответствует мейснеровскому состоянию (вихревое состояние образуется только при  $a < a_{cr}$ );

г) критическое расстояние  $a_{cr}$  увеличивается с ростом температуры  $T$  (рис. 6).

Для повышения точности измерений критическое расстояние  $a_{cr}$  (в присутствии шумов, соответствующих магнитному полю  $\approx 0.1$  Гс) определялось экстраполяцией зависимости сигнала на датчике  $P2$  от расстояния  $a$  (рис. 5). Характер наблюдаемых экспериментальных распределений  $B_z(x, y)$  одинаков для всех образцов. Температурные зависимости  $a_{cr}$  (рис. 6) хорошо аппроксимируются степенным законом  $a_{cr} \propto T^{-n}$ ;

для всех образцов показатель степени  $n \simeq -0.7$ . Используя эти данные, в рамках описываемой ниже модели мы можем найти величину  $j_c$ .

#### 4. ОБСУЖДЕНИЕ РЕЗУЛЬТАТОВ

##### 4.1. Температурная зависимость критического тока $j_c$

Необходимая для анализа экспериментальных данных связь критического расстояния  $a_{cr}$  и плотности тока  $j_c$  может быть легко получена из решения задачи о распределении мейсснеровского тока, индуцированного полем микромагнита. Для случая бесконечной сверхпроводящей пленки исходное уравнение имеет вид

$$\text{rot rot } \mathbf{A} + \frac{f(z)}{\lambda_{ab}^2} \mathbf{A} = 4\pi\delta(z+a) \text{rot}(\mathbf{m}\delta(x,y)), \quad (2)$$

где  $x, y, z$  — система координат с началом отсчета на поверхности пленки,  $\lambda_{ab}$  — эффективная глубина проникновения для токов параллельных плоскости  $xy$ ; микромагнит (магнитный диполь) расположен в точке  $z = -a, x = y = 0, \mathbf{m} \parallel z$ . Функция  $f(z)$  определяется следующим образом:  $f(z) = 1$  при  $0 < z < d$  и  $f(z) = 0$  при  $z < 0$  и  $z > d$ .

Заметим, что  $\lambda_{ab}$  сильно зависит от структуры образцов: для однородных монокристаллических пленок  $\lambda_{ab}$  совпадает с лондоновской глубиной проникновения  $\lambda_L$ , для гранулированной среды  $\lambda_{ab}$  определяется межгранульным джозефсоновским взаимодействием [18]. Из уравнения (2) с помощью соотношения

$$j_\varphi = -\frac{c}{4\pi\lambda_{ab}^2} A_\varphi \quad (3)$$

было получено следующее выражение для плотности тока:

$$j_\varphi = -\frac{cm}{2\pi\lambda_{ab}^2} \int_0^\infty \exp(-qa) \frac{k \text{ch}[k(d-z)] + q \text{sh}[k(d-z)]}{(k^2 + q^2) \text{sh}(kd) + 2kd \text{ch}(kd)} q^2 J_1(q\rho) dq, \quad (4)$$

где  $r, \varphi, z$  — цилиндрическая система координат,  $k^2 = q^2 + \lambda_{ab}^{-2}$ ,  $J_1$  — функция Бесселя первого порядка. Очевидно, что формула (4) может быть использована и для пленки конечного размера при условии  $a \ll L$  и  $r \ll L$ . Для анализа экспериментальных данных удобно пользоваться упрощенным выражением, которое следует из (4) при  $a \gg \max[\lambda_{ab}, \lambda_{ab}^2/d]$ :

$$j_\varphi(r) = -\frac{3cmra}{2\pi\lambda_{ab}(\tau^2 + a^2)^{5/2}} \frac{\text{ch}[(z-d)/\lambda_{ab}]}{\text{sh}(d/\lambda_{ab})}. \quad (5)$$

Используя (5) и экспериментальные зависимости  $a_{cr}(T)$ , мы можем определить значение критической плотности тока  $j_c(T) = \max |j_\varphi(r, \varphi)| = |j_\varphi(a_{cr}/2, 0)|$ , соответствующее началу проникновения вихрей. При этом мы воспользовались также условием  $\lambda_{ab} \gg d$ , которое оказывается выполненным в рассматриваемом диапазоне температур (см. приведенные ниже оценки). На рис. 6 представлена типичная зависимость  $j_c(T)$ . Обратим внимание на некоторые важные особенности полученных результатов:

а) для всего диапазона температур  $j_c(T)$  значительно меньше  $j_{GL}$  критической плотности тока Гинзбурга—Ландау, необходимой для подавления поверхностного барьера в идеальных образцах (при  $T = 77$  К  $j/j_{GL} \sim 10^{-2}$ ); таким образом, наши результаты согласуются с данными работы [2, 10], где показана малость барьера Бина—Ливингстона для вхождения вихревых линий, параллельных плоскостям  $\text{CuO}$ ;

б) для температур близких к  $T_c$  экспериментальные данные хорошо аппроксимируются зависимостью  $j_c \propto \tau^p$ , где  $p \approx 2$  (см. также таблицу, где приведены основные параметры исследованных образцов).

#### Основные параметры исследованных образцов

Пленка	$T_c$ , К	$j_c(77$ К), А/см <sup>2</sup>	$j_p(77$ К), А/см <sup>2</sup>	$p$
M1	86.4	$2.2 \cdot 10^6$	$0.8 \cdot 10^6$	$2.1 \pm 0.1$
M2	86.9	$2.6 \cdot 10^6$	$0.85 \cdot 10^6$	$2.0 \pm 0.1$
M3	85.5	$2.0 \cdot 10^6$	$0.95 \cdot 10^6$	$2.0 \pm 0.1$
M4	86.6	$1.0 \cdot 10^6$	$0.7 \cdot 10^6$	$1.9 \pm 0.1$

Рассмотрим теперь возможные механизмы наблюдаемого нами сильного подавления барьера Бина—Ливингстона. Во-первых, подавление барьера безусловно может быть связано с шероховатостями поверхности и поверхностными дефектами. Такой механизм снижает критический ток проникновения первых вихрей:  $j \sim \gamma j_{GL}$ , где  $\gamma < 1$ . Тем не менее представляется маловероятным, чтобы такой механизм давал значение  $\gamma \sim 10^{-2}$ , соответствующее экспериментальным данным. Кроме того, даже если предположить, что шероховатость приводит к возникновению вихревых полупетель вблизи поверхности, то для разрыва этих полупетель на пары вихрь—антивихрь необходим достаточно сильный ток  $j \sim j_{GL}$ . Необходимо также отметить, что подавление барьера за счет шероховатостей поверхности, на наш взгляд, не может объяснить наблюдаемых нами температурных зависимостей  $j_c \propto \tau^p$  с показателем степени  $p \approx 2$ , которые существенно отличаются от температурной зависимости плотности тока  $j_{GL} \propto \tau^{1.5}$ .

Во-вторых, низкий барьер может быть легко объяснен в рамках модели гранулированной джозефсоновской среды. При этом роль джозефсоновских контактов могут играть, например, границы зерен. Эффективный критический ток распаривания в такой модели по порядку величины равен джозефсоновскому критическому току между гранулами, который намного меньше  $j_{GL}$ . Согласно работе [18], эффективную глубину проникновения можно определить следующим образом:

$$\lambda_{ab}^2 = \frac{c\Phi_0}{16\pi^2\mu l j_c}, \quad (6)$$

где  $\mu$  — эффективная магнитная проницаемость среды, связанная с отношением  $\lambda_L/l$  (для  $\lambda_L/l \sim 1$  имеем  $\mu < 1$ ). Для  $\lambda_L(77$  К) = 3000 Å,  $l \approx 0.5$  мкм,  $j_c = 2 \cdot 10^6$  А/см<sup>2</sup> получаем  $\lambda_{ab} \sim l$ . Можно видеть, что при всех температурах  $T > 77$  К условие  $\lambda_{ab} > l$ , которое использовалось выше для анализа экспериментальных данных, оказывается выполненным. При температурах  $T < 77$  К глубина проникновения  $\lambda_{ab}$  может оказаться меньше размера гранулы  $l$  и простая модель [18], основанная на усредненном по масштабу  $l$  функционале свободной энергии, будет несправедлива. Температурные зависимости  $j_c$ , наблюдаемые в нашем эксперименте, сильно отличаются от тех, которые характерны для джозефсоновских контактов сверхпроводник—изолятор—сверхпроводник

( $j_c \propto \tau$ ;  $\tau \ll 1$ ) [19], и указывают на существенное подавление модуля параметра порядка на границах гранул. Этот вывод находится в согласии с результатами работы [20], в которой проводились измерения магнитной восприимчивости поликристаллических пленок YBaCuO с удельным сопротивлением  $\rho_{ab}(100\text{ K}) = 800\text{ мкОм}\cdot\text{см}$  и  $T_c = 80\text{ K}$ . Если исключить возможность существования контактов сверхпроводник—нормальный металл—сверхпроводник в YBaCuO-пленках, то полученные нами результаты указывают на анизотропный тип спаривания в гранулах.

#### 4.2. Модель критического состояния в тонких пленках

Для анализа характеристик смешанного состояния, формирующегося в поле микромагнита, нами была рассмотрена простейшая модель критического состояния в тонких пленках с толщинами  $d \ll \lambda_{ab}$ , позволяющая найти стационарное распределение вихрей во внешнем магнитном поле.

Как было сказано выше, пары вихрь—антивихрь рождаются в ограниченной области вблизи максимума меисснеровского тока  $r_{max} = a/2$ . Вошедшие в пленку вихри под действием силы Лоренца будут двигаться в противоположные стороны, в результате чего образуется некоторое распределение остаточной намагниченности. Стационарное распределение вихрей в пленке возможно при выполнении следующих условий (см., например, [21]). Во-первых, плотность тока не должна превышать критическую величину  $j_c$  (в противном случае будет происходить генерация дополнительных вихрей). Во-вторых, для того чтобы вихревая структура была неподвижной, плотность тока в области расположения вихрей не должна быть больше плотности тока пиннинга  $j_p$ . Простейшим вариантом образующейся вихревой структуры является совокупность двух неперекрывающихся областей, в которых отлична от нуля концентрация либо вихрей, либо антивихрей.

Пусть  $j_1(\mathbf{r}, \mathbf{r}')$  — плотность тока в точке  $\mathbf{r}$ , создаваемого вихрем, находящимся в точке  $\mathbf{r}'$ :

$$j_1(\mathbf{r}, \mathbf{r}') = j_1(|\mathbf{r} - \mathbf{r}'|) \left[ z \frac{\mathbf{r} - \mathbf{r}'}{|\mathbf{r} - \mathbf{r}'|} \right].$$

Тогда выражение для плотности тока  $j_{tot}(\mathbf{r})$ , создаваемого неподвижными вихрями, распределенными с концентрацией  $n(\mathbf{r})$ , имеет вид

$$j_{tot} = \int n(\mathbf{r}') j_1(|\mathbf{r} - \mathbf{r}'|) d\mathbf{r}'. \quad (7)$$

Для случая аксиально-симметричного распределения  $n(\mathbf{r}) = n(r)$  уравнение (7) можно привести к виду

$$j_{tot, \varphi} = \frac{1}{N} \int_0^{\infty} 2\pi n(r') G(r, r') r' dr', \quad (8)$$

где  $G(r, r')$  — плотность тока, который создан кольцом вихрей с концентрацией  $n(r) = N\delta(r - r')/2\pi r$ ,  $N$  — полное число вихрей.

Анализ рождения вихревой структуры будем проводить на пороге генерации вихревых пар ( $(a_{cr} - a)/a_{cr} \ll 1$ ). В этом случае стационарное распределение вихрей будет представлять собой два узких кольца, находящихся на большом расстоянии друг

от друга: внутреннее кольцо вихрей радиусом  $r_1$  и полушириной  $\theta_1$  и внешнее кольцо антивихрей радиусом  $r_2 \gg r_1$  и полушириной  $\theta_2$  ( $\theta_{1,2} \ll r_{1,2}$ ). Мы предполагаем также, что  $j_p \ll j_c$  — это условие согласуется с нашими экспериментальными результатами при  $T$  близких к  $T_c$  (см. разделы 3.1 и 4.1). Указанные условия позволяют упростить выражение для  $G(r, r')$  в уравнении (8) (см. Приложение А) и получить следующую систему уравнений:

$$\int_a^b \frac{c\Phi_0 n_+(r') dr'}{2\pi^2 d(r-r')} + j_\varphi(r) + \frac{3Nc\Phi_0 r_1}{8\pi^2 d r_2^3} = -j_p, \quad a \leq r \leq b, \quad (9)$$

$$-\int_c^d \frac{c\Phi_0 n_-(r') r' dr'}{2\pi^2 d r (r-r')} + j_\varphi(r) + \frac{Nc\Phi_0}{4\pi^2 d r_2^2} = -j_p, \quad c \leq r \leq d, \quad (10)$$

$$j_\varphi(\tilde{r}) + \frac{c\Phi_0 N}{4\pi^2 d \tilde{r}^2} + \frac{3c\Phi_0 N r}{4\pi^2 d \tilde{r}^2} = -j_c, \quad (11)$$

$$\left. \frac{d}{dr} j_\varphi(r) \right|_{\tilde{r}} + \left. \frac{d}{dr} \left( \frac{c\Phi_0 N}{4\pi^2 d r^2} \right) \right|_{\tilde{r}} + \left. \frac{d}{dr} \left( \frac{3c\Phi_0 N r}{4\pi^2 d r^2} \right) \right|_{\tilde{r}} = 0, \quad (12)$$

где  $a \leq r \leq b$  и  $c \leq r \leq d$  — области существования вихрей и антивихрей соответственно;  $\tilde{r}$  — точка, в которой полный ток достигает максимума;  $n_+$  — концентрация вихрей,  $n_-$  — концентрация антивихрей. Уравнения (9), (10) представляют собой запись условия неподвижности вихревой структуры ( $j_{tot}(r) = j_p$  при  $a \leq r \leq b$  и  $c \leq r \leq d$ ), а уравнения (11), (12) соответствуют тому, что максимальное значение плотности тока равно  $j_c$ .

Применяя подход, использованный, например, в работе [21], можно провести обращение интегральных уравнений (9)–(12) (см. Приложение Б). После решения полученной системы получаем следующие выражения для плотности вихрей и антивихрей:

$$n_+ = \frac{3m}{\Phi_0 a_{cr}^4} \sqrt{\theta_1^2 - (r - r_1)^2}, \quad n_- = \frac{12m a_{cr}}{\Phi_0 r_2^5} \sqrt{\theta_2^2 - (r - r_2)^2}, \quad (13)$$

где

$$r_1 = \frac{2\pi j_p d a_{cr}^4}{3mc}, \quad r_1 r_2^4 = a_{cr}^5, \quad (14)$$

$$\theta_1^2 = \frac{Nc\Phi_0}{2\pi^3 d j_p}, \quad \theta_1 = \frac{1}{2}\theta_2. \quad (15)$$

Тогда

$$N = 2\pi r_1 \int_{r_1 - \theta_1}^{r_1 + \theta_1} n_+(r) dr = 2\pi r_2 \int_{r_2 - \theta_2}^{r_2 + \theta_2} n_-(r) dr = \frac{9m\pi}{1.25^{5/2} \Phi_0 \cdot 4a_{cr}} \left( 1 - \frac{a}{a_{cr}} \right). \quad (16)$$

Для сравнения результатов, полученных в рамках рассматриваемой теоретической модели, с экспериментальными данными необходимо найти выражение, связывающее

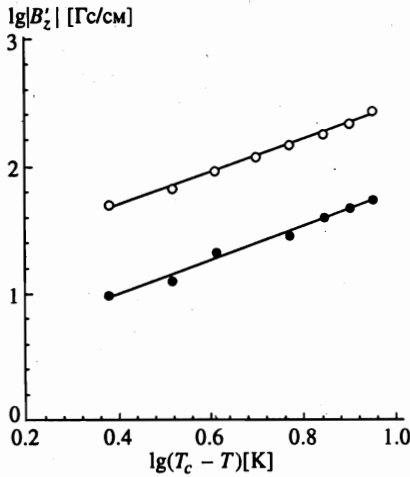


Рис. 7. Температурная зависимость  $B'_z = dB_z/da$  (● — эксперимент, ○ — теория)

величину  $B_z$ , измеряемую в эксперименте, с параметрами вихревой структуры. В силу того что вблизи порога генерации образуется два узких кольца вихрей ( $\theta_{1,2} \ll r_{1,2}$ ), для нахождения создаваемого пленкой магнитного поля концентрацию вихрей можно считать приблизительно равной

$$n(r) = \frac{N}{2\pi r} [\delta(r - r_1) - \delta(r - r_2)]. \tag{17}$$

Выражение для компоненты магнитного поля  $B_z$ , измеряемой датчиком Холла P2 (находящимся под пленкой на расстоянии  $H = 700$  мкм), имеет вид

$$B_z = \int_0^\infty \frac{H}{(r'^2 + H^2)^{3/2}} \Phi_0 n(r') r' dr' = \frac{NH\Phi_0}{2\pi} \left[ \frac{1}{(r_1^2 + H^2)^{3/2}} - \frac{1}{(r_2^2 + H^2)^{3/2}} \right]. \tag{18}$$

Интересно сравнить величину наклона экспериментальной кривой  $B_z(a)$  при  $a = a_{cr}$  с теоретическим значением:

$$B'_z \equiv \left( \frac{dB_z}{da} \right) \Big|_{a=a_{cr}} = - \frac{9mH}{1.25^{5/2} \cdot 8a_{cr}^2} \left[ \frac{1}{(r_1^2 + H^2)^{3/2}} - \frac{1}{(r_2^2 + H^2)^{3/2}} \right]. \tag{19}$$

Как видно на рис. 7, температурная зависимость  $B'_z(T)$  демонстрирует хорошее согласие теоретических расчетов с экспериментальными данными.

### 5. ЗАКЛЮЧЕНИЕ

В данной работе предложен новый экспериментальный метод определения локальных характеристик сверхпроводящих пленок, в частности, поверхностного энергетического барьера для вхождения вихревых линий в сверхпроводник. Методика измерений

основана на использовании в качестве источника магнитного поля малой ферромагнитной частицы и тем самым (в силу быстрого спада поля) лишена недостатков, присущих методам, использующим однородные внешние поля для определения характеристик образцов с большим размагничивающим фактором. Основным достоинством метода является то, что он позволяет получать прямую информацию о важных параметрах сверхпроводника безотносительно к геометрии исследуемого образца. Проведенные эксперименты на пленках YBaCuO показали, что энергетический барьер для создания вихрей (при ориентации поля параллельно плоскостям CuO) аномально мал. Температурная зависимость соответствующего порогового тока  $j_c$  (индуцированного микромагнитом) существенно отличается от температурной зависимости тока распаривания, отвечающего за преодоление барьера Бина—Ливингстона в идеальных образцах. Указанные факты могут быть интерпретированы в рамках модели джозефсоновской среды. В этом случае определяемая нами величина  $j_c(T)$  является плотностью межгранульного критического тока. Наблюдаемая температурная зависимость  $j_c$  указывает на сильное подавление сверхпроводящего параметра порядка на межгранульных границах, что для наиболее вероятных границ раздела типа «сверхпроводник—изолятор—сверхпроводник» свидетельствует в пользу анизотропного типа спаривания. Дальнейший анализ зависимости  $j_c(T)$  в образцах с различной микроструктурой представляется, таким образом, весьма важным для решения вопроса о типе спаривания в ВТСП.

В заключение авторы выражают благодарность А. А. Андронову за ценные замечания и обсуждение результатов. Работа выполнена при финансовой поддержке Российского фонда фундаментальных исследований (грант 97-02-17437) и Международного центра-фонда перспективных исследований в Нижнем Новгороде (грант 99-2-03).

#### ПРИЛОЖЕНИЕ А

Здесь мы получим асимптотики для функции Грина  $G(r, r')$  в уравнении (8). Найдем плотность тока, создаваемого кольцом вихрей с концентрацией

$$n(r) = N\delta(r - r')/(2\pi r) \quad (\text{A.1})$$

( $r'$  — радиус кольца). Известно, что выражение для  $j_1(r, r')$  для значений  $|r - r'| \gg \lambda_{eff}$  ( $\lambda_{eff} = \lambda_{ab}^2/d$ ) имеет вид

$$j_1(r, r') = \frac{c\Phi_0}{4\pi^2|r - r'|^2 d} \quad (\text{A.2})$$

После подстановки (A.1) и (A.2) в выражение (7) и интегрирования по  $r' = |r'|$  получаем

$$G(r, r') = \frac{c\Phi_0 N}{8\pi^3 d} \int_{-\pi}^{\pi} \frac{(r - r' \cos \varphi) d\varphi}{(r^2 + r'^2 - 2rr' \cos \varphi)^{3/2}} \quad (\text{A.3})$$

После проведения математических преобразований выражение (A.3) можно привести к виду

$$G(r, r') = \frac{c\Phi_0 N}{4\pi^3 d} \left[ \frac{E(k)}{r(r - r')} + \frac{K(k)}{r(r + r')} \right], \quad (\text{A.4})$$

где  $K(k)$  и  $E(k)$  — полные эллиптические интегралы 1-го и 2-го рода,  $k^2 = 4rr'/(r^2+r'^2)$ .

Запишем асимптотики функции Грина  $G(r, r')$  (А.4):

1) при  $|r - r'| \ll r'$

$$G(r, r') = \frac{c\Phi_0 N}{4\pi^3 d} \frac{1}{r'(r - r')}; \quad (\text{А.5})$$

2) при  $|r - r'| \gg r'$  и  $r > r'$

$$G(r, r') = \frac{c\Phi_0 N}{4\pi^2 d} \frac{1}{r^2} \quad (\text{А.6})$$

(данный вид функции Грина используется для вычисления плотности тока, создаваемого кольцом вихрей, в области расположения кольца антивихрей);

3) при  $|r - r'| \gg r_0$  и  $r < r'$

$$G(r, r') = \frac{3c\Phi_0 N}{8\pi^2 d} \frac{r}{r'^3} \quad (\text{А.7})$$

(данный вид функции Грина используется для определения плотности тока, созданного кольцом антивихрей, в области расположения кольца вихрей).

### ПРИЛОЖЕНИЕ Б

Для решения системы интегральных уравнений нами был использован подход, развитый в [22]. При этом, согласно [22], для сингулярного интегрального уравнения

$$\frac{1}{\pi i} \int_a^b \frac{\varphi(t) dt}{t - t_0} = f(t_0) + C, \quad a \leq t_0 \leq b, \quad (\text{Б.1})$$

(где  $\varphi(t)$  — неизвестная функция, удовлетворяющая условию Гельдера,  $C$  — неизвестная постоянная) единственное решение имеет вид

$$\varphi(t_0) = \frac{\sqrt{(t_0 - a)(t_0 - b)}}{\pi i} \int_a^b \frac{f(x) dx}{\sqrt{(x - a)(x - b)(x - t_0)}}, \quad (\text{Б.2})$$

$$C = \frac{1}{\pi i} \int_a^b \frac{f(x) dx}{\sqrt{(x - a)(x - b)}}. \quad (\text{Б.3})$$

### Литература

1. E. H. Brandt, Rep. Prog. Phys. 58, 1465 (1995).
2. A. S. Mel'nikov, Yu. N. Nozdrin, I. D. Tokman et al., Phys. Rev. B 58, 1672 (1998).
3. M. W. Coffey, Phys. Rev. B 52, R9851 (1995).
4. J. H. Xu, J. H. Miller, Jr., and C. S. Ting, Phys. Rev. B 51, 424 (1995).

5. J. C. Wei, J. L. Chen, L. Horng et al., Phys. Rev. B **54**, 15429 (1995).
6. H. J. Hug, A. Moser, I. Parashikov et al., Physica C **235-240**, 2695 (1995).
7. I. D. Tokman, Phys. Lett. A **166**, 412 (1992).
8. G. M. Genkin, V. V. Skuzovatkin, and I. D. Tokman, J. Magn. Magn. Mater. **130**, 51 (1994).
9. Y. N. Nozdrin, P. P. Vysheslavtsev, I. D. Tokman et al., IEEE Trans. Appl. Supercond. **5**, 1424 (1995).
10. D. X. Chen, R. B. Goldfarb, R. W. Cross et al., Phys. Rev. B **48**, 6426 (1993).
11. V. P. Damjanovic and A. Yu. Simonov, J. de Phys. I **1**, 1639 (1991).
12. В. П. Дамьянович, А. Ю. Симонов, СФХТ **4**, 1512 (1991).
13. Yu. N. Drozdov, S. V. Gaponov, S. A. Gusev et al., Supercond. Sci. Technol. **9**, A166 (1996).
14. R. K. Belov, Yu. N. Drozdov, S. V. Gaponov et al., IEEE Trans. Appl. Supercond. **5**, 1797 (1995).
15. Yu. N. Drozdov, S. V. Gaponov, S. A. Gusev et al., Supercond. Sci. Technol. **7**, 1642 (1997).
16. H. Darhmaoui, J. Jung, J. Talvaccho et al., Phys. Rev. B **53**, 12330 (1996).
17. P. N. Micheenko and Yu. E. Kuzovlev, Phys. C **204**, 229 (1993).
18. Э. Б. Сонин, Письма в ЖЭТФ **47**, 415 (1998).
19. V. Ambegaokar and A. Baratoff, Phys. Rev. Lett. **10**, 486 (1963).
20. W. Widder, L. Bauernfeind, H. F. Braun et al., Phys. Rev. **55**, 1254 (1997).
21. И. Л. Максимов, А. А. Елистратов, Письма в ЖЭТФ **61**, 204 (1994).
22. Н. И. Мухелишвили, *Сингулярные интегральные уравнения*, Физматгиз, Москва (1963).